

تأثیر زمان و دما در عملیات سرد کردن زیر صفر بر رفتار سایشی فولاد

امین اخباری‌زاده^۱، محمدعلی گلعدار^۲، علی شفیعی^۳، مجتبی خلقی^۴

۱- دانشجوی کارشناسی ارشد شناسایی و انتخاب مواد، دانشگاه صنعتی اصفهان

۲- استاد دانشگاه صنعتی اصفهان

۳- استادیار دانشگاه صنعتی اصفهان

۴- مسئول واحد تحقیق و توسعه شرکت سخت افزا

چکیده

برای حذف آستینیت باقیمانده از برخی از انواع فولادهای ابزار تحت شرایطی می‌توان از عملیات تکمیلی سرد کردن زیر صفر استفاده کرد. فاز نیمه‌پایدار آستینیت از طرفی مقاومت به سایش را کاهش داده و از طرفی دیگر با تبدیل شدن به مارتزیت باعث تغییر ابعاد ناخواسته می‌شود و در نتیجه دقت ابعادی کاهش می‌یابد. این عملیات در مورد فولادهایی که نیاز به دقت ابعاد بالایی دارند و یا فولادهایی که نیاز به مقاومت به سایش بالایی دارند به نحو وسیعی به کار می‌رود. در این تحقیق تأثیر عملیات سرد کردن زیر صفر تا دمای 63°C و تأثیر زمان نگهداری در دمای مزبور بررسی شد. نتایج به دست آمده نشان می‌دهد که عملیات زیر صفر کاری باعث بهبود رفتار سایشی فولاد مورد مطالعه می‌شود. این بهبود در حدی است که می‌توان زمان نگهداری بیشتر را جایگزین دمای پایین‌تر نمود. در حالت کرايو ۲۰ رفتار سایشی به میزان $4\%-7\%$ نسبت نمونه‌ای که کرايو نشده بهبود نشان داد. این میزان برای نمونه‌های کرايو ۴۰ و کرايو عمیق (غوطه‌وری در نیتروژن مایع) به ترتیب 10% و 40% مشاهده شد.

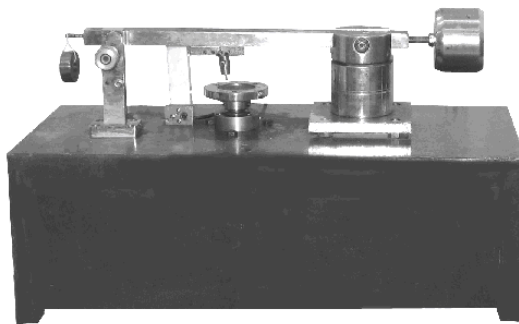
کلیدواژه:

عملیات زیر صفر؛ سایش؛ کرايو.

مقدمه

پذیرفته‌تر از آستینیت باقیمانده است زیرا آستینیت باقیمانده با تبدیل شدن به مارتزیت تغییر ابعادی ناخواسته در قطعه پدید می‌آید. به همین دلیل عملیات کرايو (سرد کردن زیر صفر) در مورد فولادهایی که نیاز به دقت ابعادی و یا مقاومت به سایش بالایی دارند به شکل وسیعی به کار می‌رود [۱]. در این فرایند، بعد از عملیات کوئنچ، قطعه را در شرایط کنترل شده و با نرخ سرد کردن مناسب تا دمای مورد نظر سرد می‌کنند. اگر این

برای حذف آستینیت باقیمانده از برخی از انواع فولادهای ابزار امروزه از عملیات تکمیلی سرد کردن زیر صفر استفاده وسیعی می‌شود. آستینیت باقیمانده به عنوان یک فاز ضعیف در کاهش عمر قطعه نقش بسزایی دارد. از طرفی در قطعاتی که تحت سایش شدید قرار می‌گیرند مارتزیت باز پخت شده بسیار



شکل(۱): دستگاه سایش مورد استفاده.

جدول(۱): درصد عنصر آلیاژی فولاد مورد استفاده

Fe	C	Si	Mn	Ni	Cr	Mo	Co	W	Va
٪۰/٪۷	٪۰/٪۲	٪۰/٪۲	٪۰/٪۴	٪۰/٪۶	٪۰/٪۲	٪۰/٪۴	٪۰/٪۵	٪۰/٪۷	٪۰/٪۸

جدول(۲): سختی نمونه ها قبل و بعد از تمپر

سختی میانگین (قبل از تمپر) HRC	سختی میانگین (بعد از تمپر) HRC	نمونه
۰/۷±۶۴	۰/۵±۶۲	کوئنچ
۰/۵±۶۵	۰/۶±۶۲/۵	کرايو
۰/۴±۶۶/۷	۰/۴±۶۴	کرايو عميق
۰/۴±۶۵/۵	۰/۵±۶۳	کرايو

دورمر^۵ تاثیر کرايو عميق را بر فولاد ابزار D2 بررسی کردند.^[۵] پائولین^۶ نشان داد که عملیات کرايو را می‌توان نوعی از عملیات تکمیلی در عملیات حرارتی متداول به منظور حذف آستینیت باقیمانده و افزایش عمر قطعات در نظر گرفت.^[۶] موهان لال^۷ تحقیقات وسیعی به شکل مقایسه‌ای در مورد عملکرد T1 M2 20-30°C/h به مدت ۳۵ ساعت انجام شد. کل فرایند در زمانی برابر ۱۰۰ ساعت انجام شد. بدليل افزایش چگالی کاربیدها و یکنواختی بیشتر آنها در عملیات کرايو خواص این نوع از فولادها بهبود قابل توجهی از خود نشان می‌دهد.^[۷] منگ و تاگاشیرا^۸ نشان دادند بعد از عملیات کرايو بر روی فولاد Fe-12Cr-Mo-

فرآيند تا دماي نزديك به ۱۰۰°C - صورت گيرد به آن سرد کردن (کرايو) سطحي^۱ SCT و اگر تا دماي ۱۸۰°C - صورت گيرد به آن سرد کردن (کرايو^۲) عيق^۳ DCT می‌گويند. در حالت کرايو سطحي درصد قابل توجه و يا تمام آستینيت باقیمانده از قطعه حذف می‌شود و رفتار سایشي ماده به شدت بهبود می‌يابد. در حالت سرد کردن عميق و سطحي بين درصد آستینيت باقیمانده تفاوتی وجود ندارد اما در حالت دوم به دليل ايجاد محل‌های جوانه‌زنی کاربید، درصد کاربید افزایش يافه و پخش یکنواخت تری از خود نشان می‌دهد، از سویی در اثر کرايو عميق کاربیدهای η به جای کاربیدهای ϵ تشکيل می‌شوند و به همين دليل رفتار سایشي مواد در حالت سرد شده در دماهای بسیار پايان بهتر از حالت کرايو سطحي است.^[۲] در نمونه کرايو شده بر خلاف پوشش، لایه رویی بعد از سایش توان ادامه کار را دارد و قطعه به سرعت دچار تخریب نمی‌شود. از طرفی عملیات کرايو بر خلاف پوشش بافت نمونه را دچار تغیير نمی‌کند و بسیار کم هزینه‌تر و از لحاظ تکنولوژيك بسیار ساده‌تر از اعمال پوشش بر نمونه است.^[۳] برای انجام عملیات تكميلي کرايو قطعه را از دماي محیط با شبیب بسیار کم دمایی (۱۵-۳۰°C/h) به دماي مورد نظر رسانده، مدت مناسبی در این دما نگهدارش و سپس با همان شبیب دماي قطعه را به دماي محیط باز می‌گرددند.^[۱]

مولیناري^۴ بر روی تاثير کرايو عميق بر روی فولادهای AISI M2 و AISI H13 تحقیقاتی انجام داد. عملیات کرايو سطحي در دماي ۶۰°C-۸۰-۹۰°C برای افزایش سختی و پایداری حرارتی و عملیات کرايو عميق در دماي ۱۲۵°C-۱۹۶°C برای بهبود خواص به دست آمده از کرايو سطحي انجام شد. اين آزمونها در محیط نیتروژن مایع و با نرخ سرد-گرم کردن ۲0-30°C/h به مدت ۳۵ ساعت انجام شد. کل فرایند در زمانی برابر ۱۰۰ ساعت انجام شد. بدليل افزایش چگالی کاربیدها و یکنواختی بیشتر آنها در عملیات کرايو خواص اين نوع از فولادها بهبود قابل توجهی از خود نشان می‌دهد.^[۴] کولین و

5- collins and Dormer

6- Paulin

7- Mohan Lal

8- Meng and Tagashira

1- Shadow cryo treatment

2- Cryo

3- Deep Cryo treatment

4- Molinari

حرارتی تنش فشاری شدیدی در مرز آستینیت و مارتنتزیت ایجاد می‌شود که به عنوان محلی برای جوانه‌زنی ترک و در نتیجه کاهش عمر قطعه عمل می‌کند. در اثر تبدیل آستینیت باقیمانده به مارتنتزیت در کراپو، تنش باقیمانده از بین می‌رود و عملای قطعه عاری از تنش باقیمانده به دلیل وجود آستینیت باقیمانده می‌شود[۱۱]. در این تحقیق به منظور بررسی عملیات کراپو از فولاد ابزار سردکار ۱/۲۴۳۶ X210CrW12 یا AISI D6 (AISI D6 یا فولاد ابزار سردکار ۱/۲۴۳۶) که از پرکاربرد در قالب‌سازی است استفاده شده است. بهبود فولادهای پرکاربرد در هزینه تعویض خواهد شد.

مطالعات آزمایشگاهی:

مواد اولیه:

فولاد مورد استفاده در این تحقیق از نوع سرد کار ۱/۲۴۳۶ می‌باشد که ترکیبی بسیار نزدیک به AISI D6 دارد. درصد عنصر آلیاژی این فولاد با استفاده از آزمایش کواتومتری تعیین شد (جدول ۱).

آماده سازی نمونه:

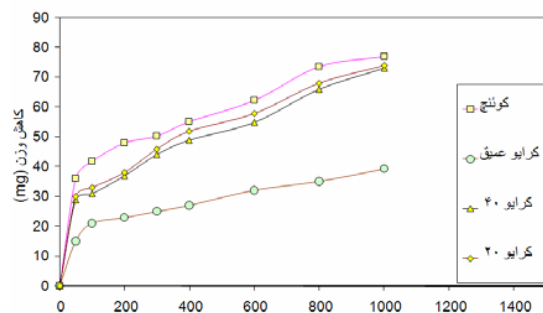
نمونه‌های سایش از فولاد فوق بریده و برای یکنواخت کردن سطح تمام نمونه‌ها سنگ مغناطیسی زده شدند و پس از آن عملیات حرارتی زیر بر روی آنها انجام شد.

نمونه ۱ (کوئنچ): آستینیتی 970°C به مدت ۲۰ دقیقه در حمام نمک - کوئنچ روغن - تمپر 180°C به مدت ۱ ساعت.

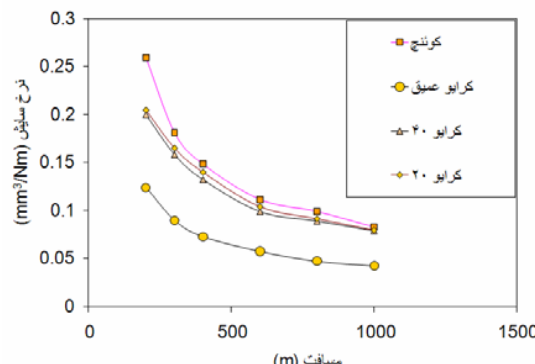
نمونه ۲ (کراپو): آستینیتی 970°C به مدت ۲۰ دقیقه در حمام نمک - کوئنچ روغن - عملیات کراپو در دمای 630°C - با نرخ سرد - گرم کردن $20-15^{\circ}\text{C/h}$ به مدت ۲۰ ساعت - تمپر 180°C به مدت ۱ ساعت.

نمونه ۳ (کراپو ۴۰): آستینیتی 970°C به مدت ۲۰ دقیقه در حمام نمک - کوئنچ روغن - عملیات کراپو در دمای 630°C - با نرخ سرد - گرم کردن 15°C/h به مدت ۴۰ ساعت - تمپر 180°C به مدت ۱ ساعت.

نمونه ۴ (کراپو عمیق): آستینیتی 970°C به مدت ۲۰ دقیقه در حمام نمک - کوئنچ روغن - عملیات کراپو در دمای 630°C - با نرخ سرد - گرم کردن 15°C/h به مدت ۲۰ ساعت -

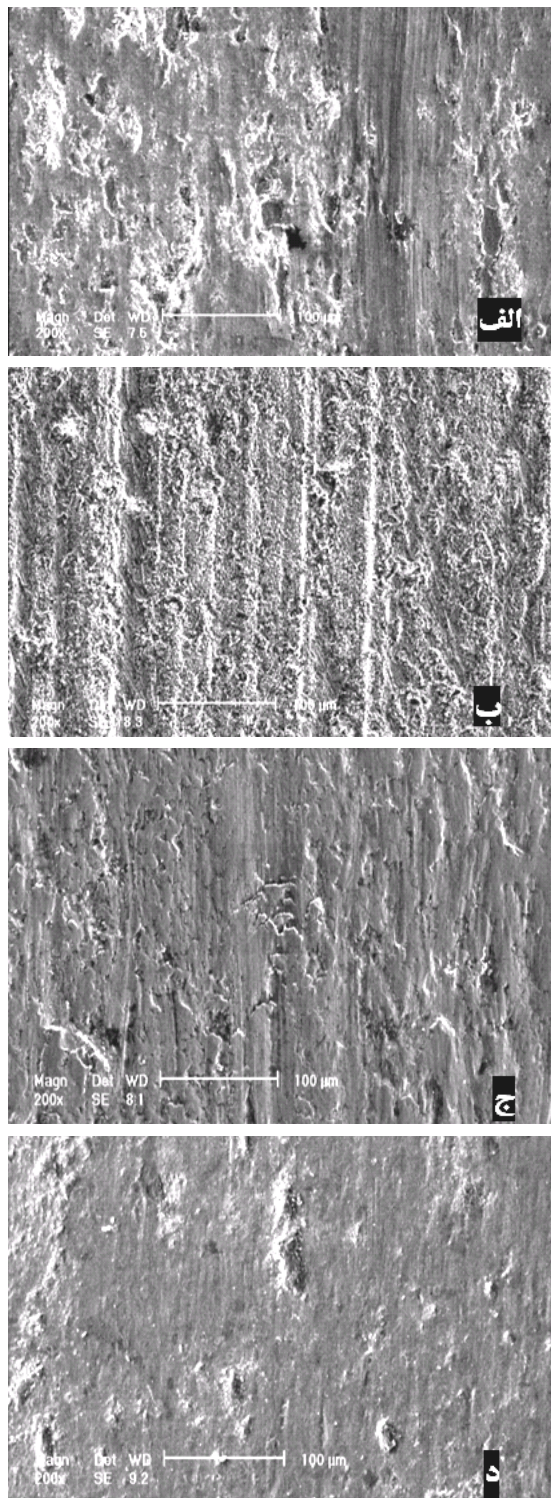


شکل (۳): نمودار کاهش وزن - مسافت طی شده



شکل (۴): نرخ سایش - مسافت طی شده

V-1.4C رفتار سایشی بین ۱۱۰٪ - ۶۰۰٪ بهبود نشان می‌دهد [۸]. از سویی دیگر در مورد فولادهای کربن داده شده وجود دارد که در مورد تأثیر عملیات کراپو بر رفتار سایشی مواد نگاه مثبتی ندارند [۹-۱۰]. مشخص شده است که در عملیات SCT کاربیدهای اپسیلون و در عملیات DCT کاربیدهای اتا بوجود می‌آیند [۱]. همچنین مشخص شده است که امکان تبدیل کامل آستینیت به مارتنتزیت وجود ندارد و عملیات سرد کردن بیشتر درصد مارتنتزیت را تغییر نمی‌دهد بلکه نوع کاربیدهای تولیدی را عوض می‌کند [۲]. در مورد فولاد M2 مشخص شد که عملیات سردکاری در خلا نسبت به عملیات حرارتی در محیط خلا باعث بهبود خواص مکانیکی ماده می‌شود و باعث پخش بهتر کاربیدها و ریزتر شدن آنها بعد از عملیات تمپر شده است که باعث بهبود چقرمگی و مقاومت به سایش می‌شود [۴]. در اثر تبدیل آستینیت به مارتنتزیت تغییر حجم در فاز آستینیت به وجود می‌آید، در اثر وجود فاز آستینیت باقیمانده بعد از عملیات



شکل(۵): تصاویر میکروسکوپ الکترونی.

الف: کوئیچ؛ ب: کرایو؛ ۲۰؛ ج: کرایو؛ ۴۰؛ د: کرایو عمیق

غوطه‌وری در نیتروژن مایع به مدت ۱۰ ساعت - گرم کردن تا دمای محیط- تمپر 180°C به مدت ۱ ساعت. شایان ذکر است به منظور پاک کردن نمک از روی نمونه‌ها و یکنواخت کردن سطح نمونه‌ها پس از عملیات کوئیچ تا سمباده 600°C زده شده و پس از آن عملیات تکمیلی کرایو بر روی آنها انجام شد.

آزمون ها:

نمونه‌ها بعد از عملیات فوق مورد آزمایش سختی و سایش قرار گرفتند. آزمایش سایش از نوع پین روی دیسک (شکل ۱) و با پینی از جنس فولاد بلبرینگ با سختی 64HRC ، در دمای اتاق ($25 \pm 2^{\circ}\text{C}$) و 30% رطوبت با نیروی 120 Niyton و در فواصل $1000-50$ متر انجام شد. در هر مرحله و در فواصل مشخص قطعه سایش وزن شده و میزان کاهش وزن با توجه به مسافت طی شده تعیین شد.

بحث و نتایج:

سختی نمونه‌ها پس از عملیات کوئیچ، کرایو و تمپر محاسبه شد. مشخص شد سختی در محدوده $\text{HRC} = 1-3$ افزایش نشان می‌دهد. تغییرات سختی با توجه به عملیات کرایو در جدول (۲) آورده شده است. سختی نمونه‌ها بعد از تمپر در حدود 2 HRC کاهش می‌یابد. نتایج سختی سنجی نشان می‌دهد نمونه کرایو شده در مقایسه با نمونه کوئیچ شده افزایش سختی نشان می‌دهد. این افزایش سختی در کرایو عمیق 3 HRC است که بعد از تمپر به سختی نمونه کوئیچ شده بعد از تمپر می‌رسد. این افزایش سختی در کرایو به دلیل حذف آستینیت باقیمانده و جایگزین شدن آن با مارتنزیت است.

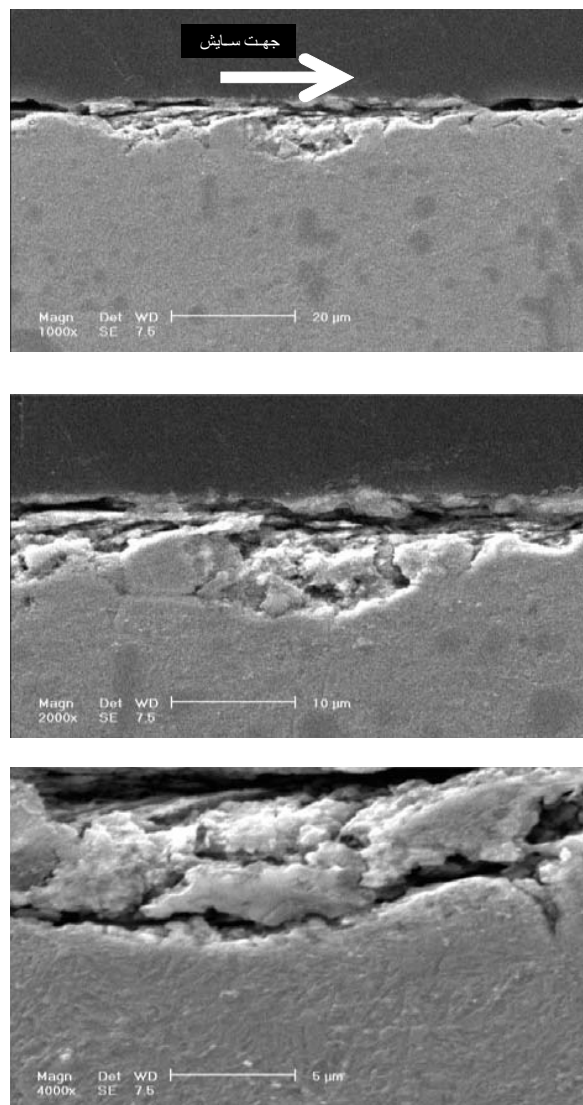
در آزمون سایش نمودار کاهش وزن بر حسب مسافت طی شده، رفتار بهتر نمونه آستینیته شده به مدت کمتر در مقایسه با سایر نمونه‌ها را نشان می‌دهد (شکل ۳). با استفاده از رابطه $W_r = \Delta m / (\rho L F_n) * 10^3$ در این رابطه نرخ سایش بر حسب mm^3/Nm ، Δm وزن(g)، ρ چگالی(g/cm^3)، L مسافت طی شده(m) و F_n نیروی اعمالی بر حسب نیوتون است. نرخ سایش از فاصله 200

به ۴۰٪ افزایش می‌یابد. افزایش شدید در حالت کرايو عمیق در مقایسه با کرايو سطحی به دلیل افزایش دانه‌های کاربید، توزیع یکنواخت‌تر و کاهش درصد آستینیت باقیمانده است.

تصاویر میکروسکوپی الکترونی روبشی SEM در شکل(۵) آمده است. این تصاویر از غالباً بودن مکانیزم سایش خراشان حکایت می‌کنند. با توجه به شکل(۵-د) عمق و عرض شیارها از در حالت کرايو عمیق بسیار کمتر از سایر شکل‌ها می‌یابشد که با رفتار سایشی بهتر کرايو عمیق هم خوانی دارد. در حالت کوئنج ماده بسیار نرم‌تر و از لحاظ رفتار سایشی بسیار ضعیف‌تر از حالات دیگر است، شیارها در این حالت بسیار عمیق‌تر دیده می‌شوند شکل(۵-الف). شکل(۵-ب و ج) از لحاظ کاهش عمق شیارها در به ترتیب در مکان‌های بعدی قرار می‌گیرند. برای اطمینان از غالباً بودن مکانیزم سایشی نمونه‌ها در جهت موازی سایش و روی خط سایش مقطع‌زده شدند. سپس با استفاده از سمباده و پولیش سطح نمونه‌ها صاف و پس از آن در محلول ۴٪ نایتال اچ شدند (شکل۶). با توجه به شکل، تغییر فرم پلاستیک در سطح کاملاً مشخص است. عدم وجود ترک در لایه‌های پایین‌تر امکان تولید شیار و کنده شدن ذرات سایش به وسیله مکانیزم خستگی را منتفی می‌کند. با توجه به شیارهای موجود در سطح در نمونه‌ها و تغییر فرم پلاستیک در مقطع نمونه‌ها غالباً بودن مکانیزم خراشان تایید می‌شود.

نتیجه گیری:

عملیات کرايو باعث بهبود خواص سایشی و افزایش سختی این فولاد می‌شود. زمان نگهداری در دمای کرايو بر رفتار سایشی ماده تاثیر می‌گذارد در حدی که افزایش زمان نگهداری تاثیر دمای کرايوی کمتر را تا حد زیادی برآورده می‌سازد. دلیل اصلی بهبود خواص در کرايو سطحی تبدیل آستینیت باقیمانده به مارتنتزیت و در کرايو عمیق افزایش دانه‌های کاربید، توزیع یکنواخت این ذرات است. در حالت کرايو ۲۰ رفتار سایشی به میزان ۷٪-۴٪ نسبت نمونه‌ای که کرايو نشده بهبود نشان می‌دهد این میزان برای نمونه‌های کرايو ۴۰ و عمیق به ترتیب ۱۰٪ و ۴۰٪ است.



شکل(۶): سطح مقطع سایش پس از اچ در نایتال ۴

متر به بعد محاسبه شد(شکل ۴). نتایج بدست آمده در این مرحله به وضوح نشان می‌دهد رفتار مواد در حالت کرايو نسبت به عملیات حرارتی مرسوم به میزان ۷٪-۴٪ نسبت به کرايو ۲۰ و ۷٪-۱۰٪ نسبت به کرايو ۴۰ بهبود نشان می‌دهد. از سویی بهبود رفتار سایشی در کرايو ۴۰ نسبت به کرايو ۲۰ تاثیر مستقیم زمان نگهداری قطعه در دمای پایین را بر رفتار سایشی نشان می‌دهد، به این شکل که با افزایش زمان نگهداری رفتار سایشی را به میزان ۷٪-۴٪ بهبود می‌یابد. در مقایسه با کرايو عمیق این میزان

منابع:

- [1] Hong-Shan Yang, Wang Jun, Shen Bao-Luo, Liu Hao-Huai, Gao Sheng-Ji and Huang Si-Jiu, Effect of cryogenic treatment on the matrix structure and abrasion resistance of white cast iron subjected to destabilization treatment. *Wear*, Volume 261, Issue 10, 30 November 2006, Pages 1150-1154
- [2] ASTM standard for wear testing. Standard test method for wear testing with a pin-on-disk apparatus. Designation 99-95a 2002, vol. 14.02, 2002, p. 386-9.
- [3] Flávio J. da Silva, Sinésio D. Franco, Álisson R. Machado, Emmanuel O. Ezugwu and Jr., Antônio M. Souza, Performance of cryogenically treated HSS tools, *Wear*, Volume 261, Issues 5-6, 20 September 2006, Pages 674-685
- [4] Molinari A, Pellizzari M. Effect of deep cryogenic treatment on the mechanical properties of tool steels. *Mater Process Technol* 2001;118:350-5.
- [5] Collins DN, Dormer J. Deep cryogenic treatment of a D2 cold work tool steel. *Heat Treat Met* 1997;3:71-4.
- [6] Paulin P. Frozen gears. Performance evaluation of cryogenically treated tungsten carbide tools in turning. *Gear Technol* 1993(MaHRCh 26-29).
- [7] Mohan Lal D, Renganarayanan S, Kalanidhi A. Cryogenic treatment to augment wear resistance of tool and die steels. *Cryogenics* 2001;41:149-55.
- [8] Meng F, Tagashira K. Wear resistance and microstructure of cryogenically treated Fe-1.4Cr-1C bearing steel. *Scri Metall Mater* 1994;31(7):865-8.
- [9] Smolnikov EA, Tkachenko VI. How cold treatment in liquid nitrogen affects cutting tool life. *Mach Tooling* 1980;51(6):22-4.
- [10] Speich GR. Ferrous martensitic structures. *ASM handbook*, vol. 9, 1985. p. 668-72.
- [11] N.R. Dhar and M. Kamruzzaman, Cutting temperature, tool wear, surface roughness and dimensional deviation in turning AISI-4037 steel under cryogenic condition, *International Journal of Machine Tools and Manufacture*, Volume 47, Issue 5, April 2007, Pages 754-759